

دراسة التوصيلية الايونية لمتراتكبات بوليمرية

أ.م.د ناهدة جمعة حميد رسل اياد محمد امين

الجامعة التكنولوجية/قسم العلوم التطبيقية/فرع علم المواد

الخلاصة:

ان الهدف من اجراء البحث هو تحضير متراتكبات بوليمرية الكترووليتية. استخدم في هذا البحث البولي فينيل الكحول (PVA) كمادة اساس كما حضر المحلول الالكترووليتي من مسحوق كربونات الليثيوم (Li_2CO_3) مع مسحوق كربونات الباريوم (BaCO_3) وبنسبة (7:3) واصيف الى المادة الاساس وبنسبة (+) (Li_2CO_3) (35%). حضرت النماذج بطريقة الصب ودرست خواصها التركيبية، الميكانيكية، البصرية، الكهربائية، والعزليّة قبل وبعد اضافة Al_2O_3 و TiO_2 وبالتساوي (5% و 20%). وجد زيادة في التوصيلية الكهربائية بارتفاع درجة الحرارة من (50-150°C)، نتيجة لامتلاك هذه النماذج معامل حراري سالب للمقاومة Negative Thermal Coefficient of Polymer). بارتفاع درجة الحرارة تبدأ القطع البوليمرية (Segments of Polymer) بالحركة وتحرير الحاملات المقتنتة (Trapped Charge). اذ ان تحرير الحاملات المقتنتة يكون مقرون بالحركة الجزيئية حيث كانت على قيمة للتوصيلية ($\Omega \cdot \text{cm}^{-1}$) 6.55E-6 لعينة TiO_2 5% عند درجة حرارة (150°C). عززت النتائج من خلال فحوصات المجهر الالكتروني الماسح (SEM) وفحوص تحولات فوريير(FTIR). ومن خلال النتائج لوحظ ان النماذج مدار البحث يمكن استخدامها كمواد الكترووليتية ولختال التطبيقات.

واسعة من التطبيقات الكهروكييمائية مثل البطاريات، والاجهزه الكهربائيه [11].

الالكترووليتات البوليمرية ال�لامية:

يتم تحضير هذا النوع من البوليمرات بإضافة الملدّنات الى المادة الاساس البوليمرية وهذه الاضافة تعمل على تليين البوليمر، وتزيد من مرونة السلاسل، وتقلل من التبلور، وبالتالي تزداد التوصيلية الايونية [4].

الكترووليتات المتراتكبات البوليمرية

يتم تحضير هذا النوع بإضافة مالئات غير عضوية مثل Al_2O_3 , SiO_2 , TiO_2 , BaTiO_3 , MgO الى المادة الاساس البوليمرية. إذ تتحسن المثانة الميكانيكية، والصلابة بشكل ملحوظ عند اضافة هذه المالئات الى المادة الاساس البوليمرية ومن المزايا الرئيسية لالكترووليتات المتراتكبات البوليمرية هو تحسين التوصيلية الايونية عند درجة حرارة الغرفة [3].

اكتسبت الالكترووليتات البوليمرية في السنوات الاخيرة الاهمية العلمية، بسبب امكانية تطبيقها في العديد من المجالات مثل البطاريات، والمتسعات، والتحسسات (Sensors) والبوليمرات الالكترووليتية (PE) واحدة من بين اهم انواع البوليمرات اذ تحتوي على عدد كبير من المجاميع الايونية. وتعد البوليمرات القطبية واحدة من اهم البوليمرات الالكترووليتية ومن امثلتها (PEO)، (PVA)، (PPO) وبصورة عامة هي مواد بلاستيكية يمكن تعديليها ومعالجتها بواسطة التقنيات التقليدية [8]. ويمكن تقسيم الالكترووليتات البوليمرية على ثلاثة انواع:

الالكترووليتات البوليمرية الصلبة:

يملك هذا النوع من البوليمرات توصيلية ايونية عند معالجتها عن طريق تذويب الملح القلوي في المادة الاساس البوليمرية، والاغشية الرقيقة للالكترووليتات البوليمرية الصلبة تمتلك مجموعة

وتحسب طاقة التنشيط من ميل العلاقة ما بين كدالة لقلوب درجة الحرارة وحسب العلاقة.

$$\text{Slop} = \frac{\Delta(\ln\sigma)}{\Delta \frac{1}{T}} \dots\dots\dots (5)$$

انی ای:

$$\sigma = \text{الوصيلية} (\Omega \cdot \text{cm})^{-1}$$

T = درجة الحرارة المطلقة (K)

ي ان طاقة التنشيط تحسب من حاصل ضرب الميل في القيمة السالبة لثابت بولتزمان:[6].

$$E_a = (-K_B) * \text{Slope} \dots \dots \dots \quad (6)$$

$$(eV/K) = \text{ثابت بولتزمان} (K_B)$$

الميل سوف يكون سالب، وطاقة التنشيط تكون موجبة.

الالجزء العملي 3
تحضير النماذج

لتحضير نماذج (PVA) يتم إذابة (10g) من مسحوق (PVA) في (100ml) من الماء المقطر ويتم وضع محلول في حمام مائي مع زيادة درجة الحرارة إلى (90°C) باستعمال خلاط مغناطيسي (MagneticStirrer) لمدة ساعة لخلط محلول والحصول على محلول متتجانس. وبعد ذلك يتم تبريد محلول تدريجياً إلى درجة حرارة الغرفة مع الاستمرار بالتحريك لمدة ساعة لضمان تجانس محلول. ويتم صب محلول على صفائح زجاجية (Glass Slide) وترك على سطح مستوي لمدة (48hr) ، ويتم إزالة النماذج المحضرة بسهولة باستعمال الملعقة.

وتحضير محلول الالكتروليتي تم إذابة (7g) من مسحوق كARBونات الليثيوم (Li_2CO_3) مع (3g) من مسحوق كARBونات الباريوم (BaCO_3) في (100ml) من الماء المقطر باستعمال خلاط مغناطيسي (Magnetic Stirrer) لمدة ساعة لخلط المحلول والحصول على محلول متجانس.

لتحضير نماذج PVA/(Li₂Co₃+BaCO₃) يتم تحضير النموذج من خلط (65%) من محلول

2. التوصية الكهربائية:

يمكن تعريف الموصولة بأنها مقلوب المقاومة التي تنشأ من سريان التيار الكهربائي بتأثير فرق الجهد تشتبث في القدرة مقداره ($I^2 R_E$) ويقاس بـ (J/S). جميع المواد خاضعة لقانون اوم، ماعدا أشباه الموصلات فهي غير خاضعه له. إن في المواد الومية (Ohmic) تتناسب المقاومة طردياً مع طول النموذج (L) وعكسياً مع مساحة المقطع العرضي (A)

$$R_E = \rho L / A_r \dots \dots \dots (1)$$

إذ ρ تمثل المقاومية (Resistivity) وتقاس بوحدات ($\Omega \cdot \text{cm}$) فهي ستمثل مقلوب التوصيلية (Conductivity).

$$\sigma = \rho^{-1} \dots \dots \dots \quad (2)$$

الرسالة تعتمد على كثافة حاملات الشحنة (عدد الالكترونات) (n_e) وكذلك على قابليتها على الحركة بشكل سريع داخل المادة (التحريكية). [13] (Mobility)

$$\sigma = n_e e \mu \dots \quad (3)$$

إذ ϵ يمثل شحنة الإلكترون، ويمكن إضافة حد ثانٍ ناتجاً من حاملات الشحنة الموجبة (الفجوات)، أو الأيونات الموجبة. أما في المواد المعدنية إذ تتناسب التوصيلية عكسياً مع درجة الحرارة، إذ البعض منها يمكن أن يتحول إلى موصل فائق (Super Conductor) عند درجات الحرارة دون الدرجة الحرجة (T_c) ، وبصورة عامة في أشباه الموصلات تتناسب التوصيلية طردياً مع درجات الحرارة وتقل مع انخفاضها. وفي المواد غير المعدنية تتغير التوصيلية الكهربائية اسياً مع درجة الحرارة (T) وفقاً لمعادلة

ارہینیس (Arrhenius Equation)

$\sigma = \sigma_0 \exp(-E_a/K_B T) \dots \dots \dots \quad (4)$

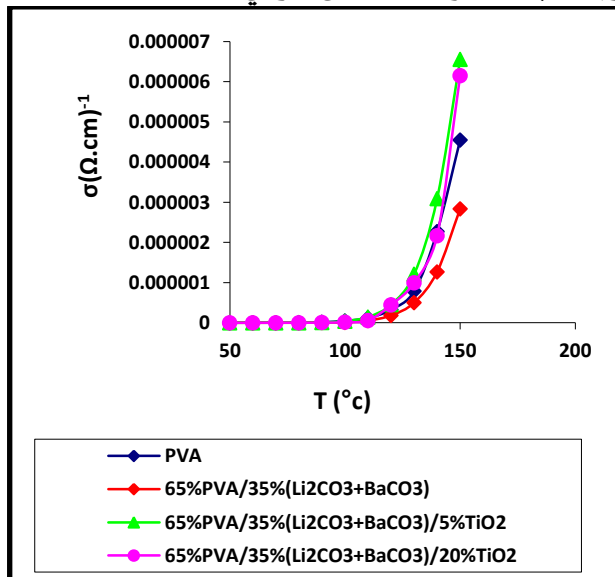
K_B يمثل ثابت بولتزمان، و E_a تمثل طاقة التنشيط ويتمكن تعريفها بأنها أقل طاقة لازمة لكي ينتقل الالكترون إلى مستوى يمكن من خلاله عبور حاجز الطاقة معتمداً على عدد الالكترونات، والفجوات ذات الطاقة الحرارية الازمة للتنشيط، والوصول إلى حاجز الطاقة وعلى سرعة حاملات الشحنة التي تتمكن من عبور حاجز الحد هنا.

تدرجياً إلى درجة حرارة الغرفة مع الاستمرار بالتحريك باستخدام الخلط المغناطيسي لمدة ساعة لضمان تجانس محلول، ويتم صب محلول على صفائح زجاجية (Glass Slide). وتترك على سطح مستوى لمدة (48hr)، ويتم إزالة النماذج المحضره باستعمال الملقط.

4. النتائج والمناقشة

التوصيلية الأيونية

تبين الأشكال (1) و(2) علاقة التوصيلية مع درجة الحرارة وضمن المدى من $^{\circ}\text{C}$ (150-50) (35%($\text{Li}_2\text{CO}_3+\text{BaCO}_3$), PVA وللنماذج $\text{Al}_2\text{O}_3/\text{TiO}_2$ 65%PVA) قبل وبعد أضافة (20% و 5%) على التوالي.

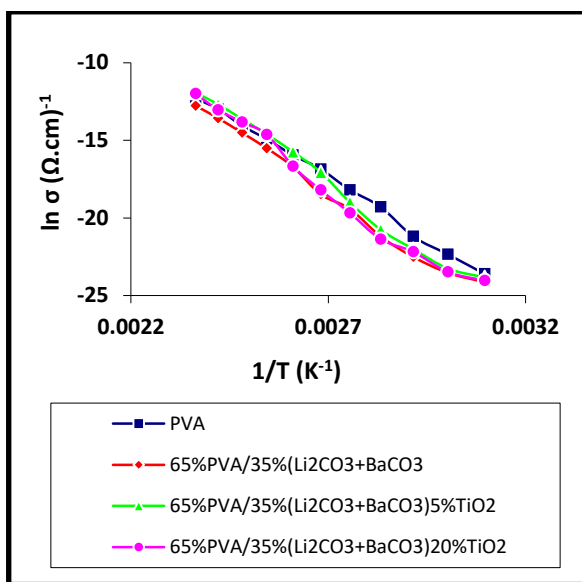


الشكل 1. يبين علاقه التوصيلية العجمية مع درجه الحرارة للنماذج قبل وبعد اضافة TiO_2

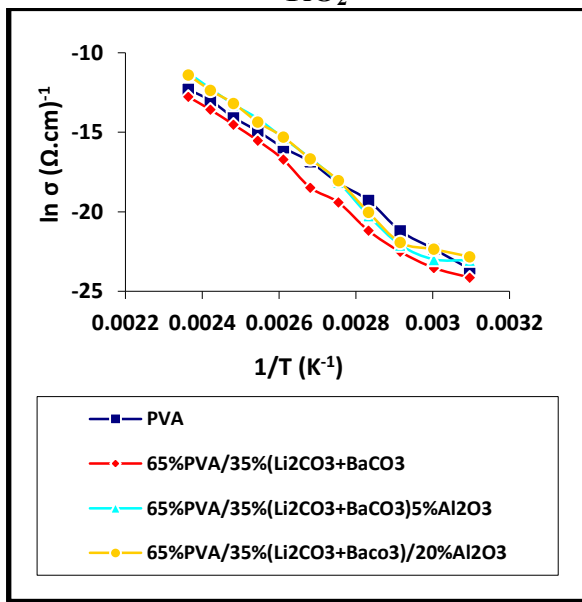
الحضر سابقاً مع (PVA) (35%($\text{Li}_2\text{CO}_3+\text{BaCO}_3$)) من محلول الالكتروليتي المحضر سابقاً ويحرك محلول باستخدام خلط مغناطيسي (Magnetic Stirrer) مع زيادة درجة الحرارة إلى (90°C) إلى أن يتم التجانس، ويتم بعد ذلك تبريد محلول إلى درجة حرارة الغرفة مع الاستمرار بالتحريك للحصول على التجانس. ويتم صب محلول على صفائح زجاجية، ويترك على سطح مستوى لمدة (48h)، وتم إزالة النماذج المحضره باستعمال الملقط.

ولتحضير مترآبات (PVA/ $(\text{Li}_2\text{CO}_3+\text{BaCO}_3)/\text{TiO}_2$) يتم من خلط (65%) من محلول (PVA) المحضر سابقاً مع مسحوق اوكسيد التيتانيوم (TiO_2) وبتراكيز مختلفة لكل مرة (5% و 20%) ويحرك محلول باستخدام خلط مغناطيسي (Stirrer Magnetic) مع زيادة درجة الحرارة إلى درجة (90°C) إلى أن يتم التجانس. ويتم بعد ذلك أضافة (35%) من محلول الالكتروليتي المحضر سابقاً إلى (65%) من محلول (PVA/ TiO_2). ومن ثم يتم تبريد محلول تدرجياً إلى درجة حرارة الغرفة مع الاستمرار بالتحريك باستخدام الخلط المغناطيسي لمدة ساعة لضمان تجانس محلول، ويتم صب محلول على صفائح زجاجية (Glass Slide). وتترك على سطح مستوى لمدة (48hr)، ويتم إزالة النماذج المحضره بسهولة باستعمال الملقط.

ولتحضير المترآبات (PVA /($\text{Li}_2\text{CO}_3+\text{BaCO}_3/\text{Al}_2\text{O}_3$)) يتم من خلط (65%) من محلول (PVA) المضر سابقاً مع مسحوق الالومينا (Al_2O_3) وبتراكيز مختلفة لكل مرة (5% و 20%) ويحرك محلول باستخدام خلط مغناطيسي (Magnetic Stirrer) مع زيادة درجة الحرارة إلى درجة (90°C) إلى أن يتم التجانس، ويتم بعد ذلك أضافة (35%) من محلول الالكتروليتي المحضر سابقاً إلى (65%) من محلول (PVA/ Al_2O_3)، ومن ثم يتم تبريد محلول

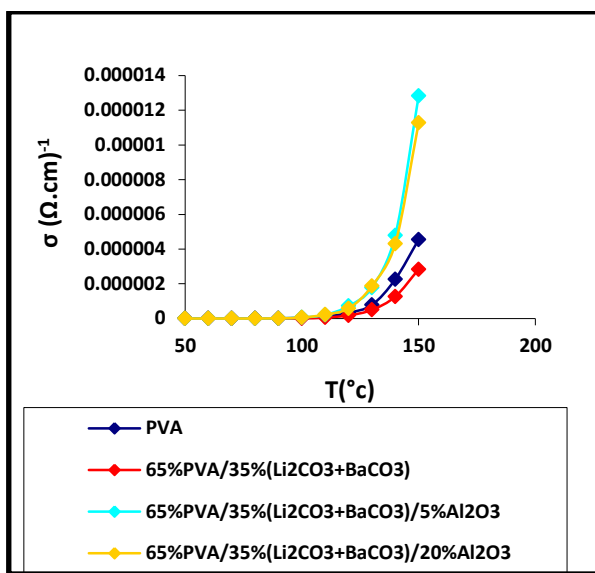


الشكل 3. العلاقة بين اللوغارتم الطبيعي للتوصيلية ومقلوبي درجة الحرارة المطلقة للنماذج قبل وبعد اضافة TiO_2



الشكل 4. العلاقة بين اللوغارتم الطبيعي للتوصيلية ومقلوبي درجة الحرارة المطلقة للنماذج قبل وبعد اضافة Al_2O_3

باستخدام العلاقة (4) ومنها تم احتساب طاقة التنشيط للنماذج مدار البحث. يبين الشكل(5) قيم طاقة التنشيط للنماذج مدار البحث



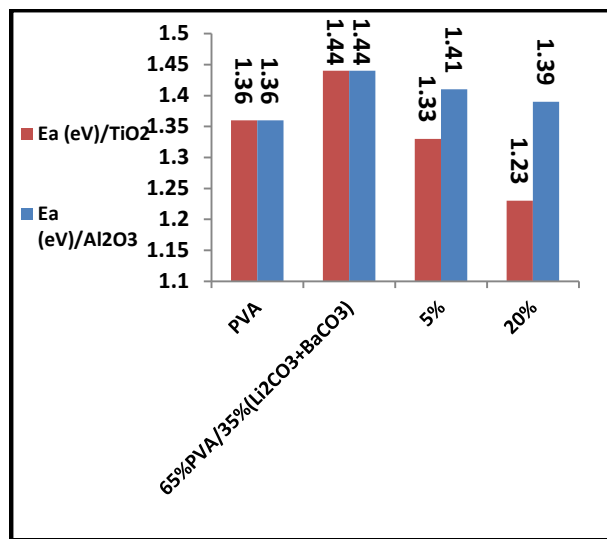
الشكل 2. يبين علاقة التوصيلية الحجمية مع درجة الحرارة للنماذج قبل وبعد اضافة Al_2O_3 وجد زيادة في التوصيلية الكهربائية بارتفاع درجة الحرارة من 50°C (50-150)، حيث كانت أعلى قيمة للتوصيلية $6.55E-6$ $(\Omega.cm)^{-1}$ لعينة 5% TiO_2 عند درجة حرارة 150°C نتاج لامتلاك هذه النماذج معامل حراري سالب للمقاومة (Negative Thermal Coefficient) ان تفسير هذه الحقيقة يعود ان السلسل البوليمرية تعمل كمصادن لحاملات الشحنة للمحلول، Al_2O_3 و TiO_2 والتي يتم انتقالها عن طريق عملية التنطط (Hopping Process). بارتفاع درجة الحرارة تبدأ القطع البوليمرية (Polymer) بالحركة وتحرير الحاملات المقتنسة (Trapped Charge) حيث ان تحرير الحاملات المقتنسة يكون مقرون بالحركة الجزيئية. تعزى زيادة التيار مع درجة الحرارة الى عاملين رئيسيين، حاملات الشحنة (Charge Carrier) و تحرکية هذه الشحنات (Mobility) ان الزيادة في درجة الحرارة سيزيد من عدد حاملات الشحنة اسيا ، تعتمد التحرکية على التركيب و درجة الحرارة. الشكل (3)(4) يبين العلاقة ما بين اللوغارتم الطبيعي للتوصيلية ومقلوبي درجة الحرارة المطلقة للنماذج مدار البحث.

المدى ($1554.25-1731.43\text{cm}^{-1}$) يعود الى تمدد الاصرة (C=O) Stretching (C=O) الخاص بمجاميع الالكيل (Alkyl Group). وان ظهور الحزم عند (OH) 3282.43cm^{-1} تعود الى تمدد الاصرة (OH -Stretching) [5-6].

بإضافة 35%($\text{Li}_2\text{CO}_3+\text{BaCO}_3$) الى PVA لوحظ اختفاء الحزم عند المدى (CH_2) $1300-1380\text{cm}^{-1}$ وقد اعزى ذلك الى تمدد الاصرة (- CH_2) Stretching واختفاء بعض الحزم عند المدى (CH_2) $625-3000\text{cm}^{-1}$ نظراً للتغير التشكيلي [5].

بإضافة 65%PVA الى 5% TiO_2 لوحظ ظهور زحف في جميع الحزم واعادة ظهور حزمة عند المدى 1338.11cm^{-1} ويعود ذلك الى التواء الاصرة - CH_2 Bending (CH_2) (C-H) Stretching (C-H) ويزاد تركيز TiO_2 الى 20% لوحظ ايضاً زحف في الحزم مع اختفاء في احدى الحزم عند المدى 1652.23cm^{-1} ويعود ذلك الى اهتزاز الاصرة (- CH_2) وتتمدد الاصرة (C=C) [6].

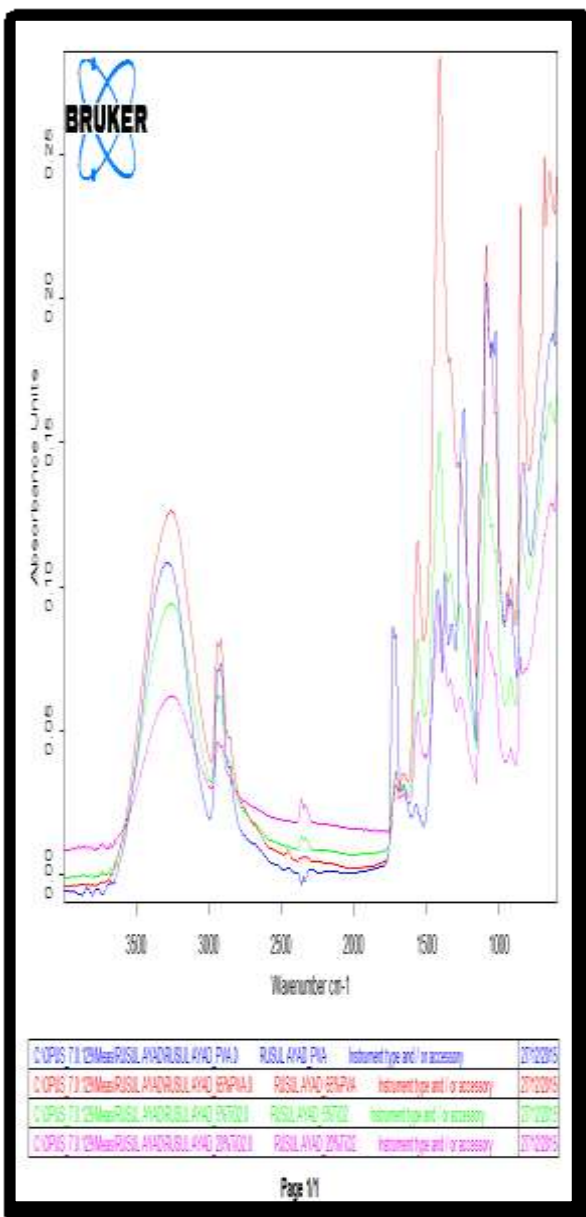
بإضافة 5% Al_2O_3 نلاحظ اختفاء بعض الحزم وبشكل خاص عند المدى ($1550-1610\text{cm}^{-1}$) وقد اعزى ذلك الى اهتزاز الاصرة (- CH_2) وتتمدد الاصرة (C=C). مع وجود زحف في جميع الحزم . وعند اضافة 20% Al_2O_3 نلاحظ اعادة ظهور الحزمة عند المدى 1558.63cm^{-1} وعند المدى 2910.77cm^{-1} يعود ذلك الى اهتزاز الاصرة (- CH_2) وتتمدد الاصرة (C=C) مع تمدد الاصرة - CH_2 ظهور حزم جديدة ايضاً عند المدى ($1550-\text{H}$) يعزى الى تمدد الاصرة (C=O). كما ان هناك زحف في جميع الحزم نظراً لحدوث تغير في التشكيل [5, 6]. الجدول (1) يبين خواص مواصفات طيف (FTIR) لمتراتبات بمختلف التراكيز.



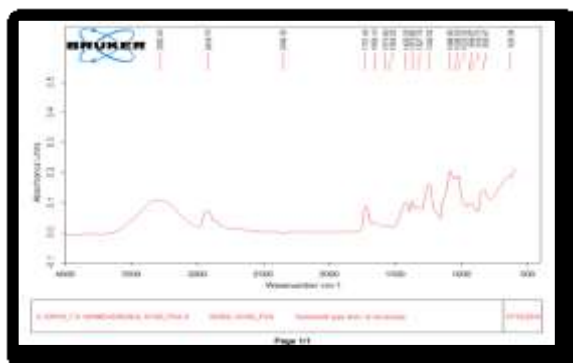
الشكل 5. يبيّن قيم طاقة التنشيط Al_2O_3 و TiO_2 قبل وبعد اضافة Al_2O_3 و TiO_2 حيث تقل بزيادة نسبة Al_2O_3 و TiO_2 الى الحركة الحرارية للأيونات والجزيئات (Thermal Movement of Ions and Molecules) حيث ان تناقص قيم طاقة التنشيط مع تركيز TiO_2 و Al_2O_3 يعزّو الى التوصيل الالكترونـي (Conduction) والذي يكون مرتبطاً بتناقص المسافة ما بين دقائق Al_2O_3 و TiO_2 [1,12].

تحليل اطيفات تحولات فوريـر

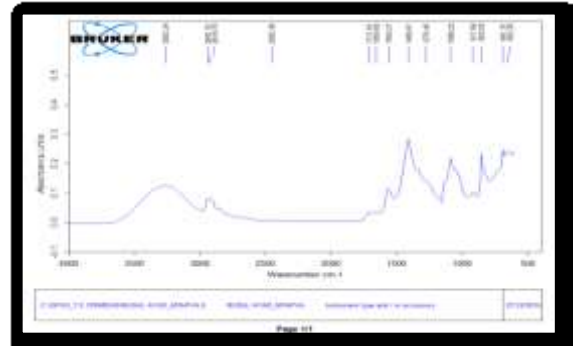
تبين الاشكال اطيفات تحولات فوريـر للنماذج PVA , $35\%(\text{Li}_2\text{CO}_3+\text{BaCO}_3)/65\%\text{PVA}$ وبعد اضافة Al_2O_3 و TiO_2 وبالنسبة (5%) 20% بالنسبة لطيف PVA نلاحظ ظهور حزم ما بين ($629.34-944.97\text{cm}^{-1}$) يعود الى التواء الاصرة (- CH_2) وحزم عند (C-H) ($918.75, 944.97\text{cm}^{-1}$) يعود الى تمدد الاصرة (- C-O). ان ظهور الحزم عند (1327.74cm^{-1}) يعود الى التواء الاصرة (- CH_2) (1373.8cm^{-1}) وان الحزم عند (1554.25cm^{-1}) يعود الى اهتزاز الاصرة (- CH_2) Bending (CH_2) Stretching (C=C) (1573.8cm^{-1}) و ظهور الحزم عند ($19-10\text{cm}^{-1}$) يعود الى اهتزاز الاصرة (- CH_2) Wagging (C=C) Stretching.



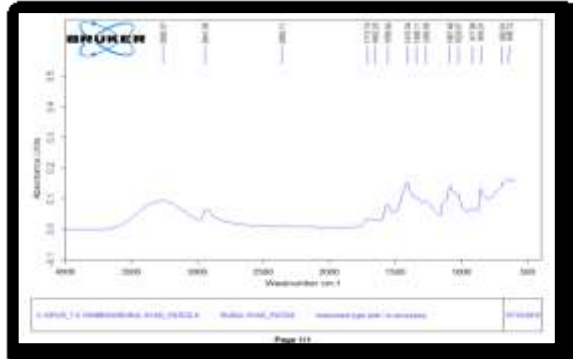
الشكل 10. اطیاف تحولات فوریر لنمذج TiO_2
وبعد اضافة PVA



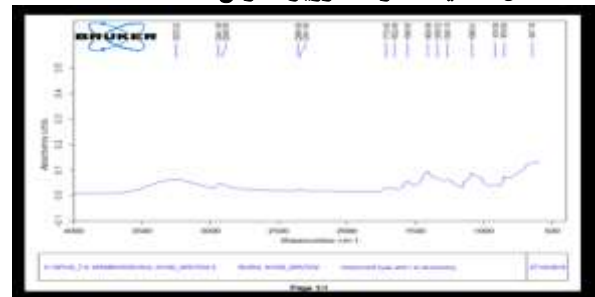
الشكل 6. اطیاف تحولات فوریر لنمذج PVA



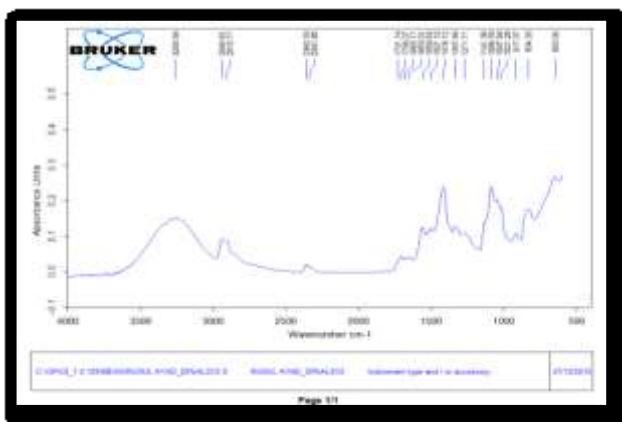
الشكل 7. اطیاف تحولات فوریر لنمذج
35%($\text{Li}_2\text{CO}_3+\text{BaCO}_3$)/65% PVA



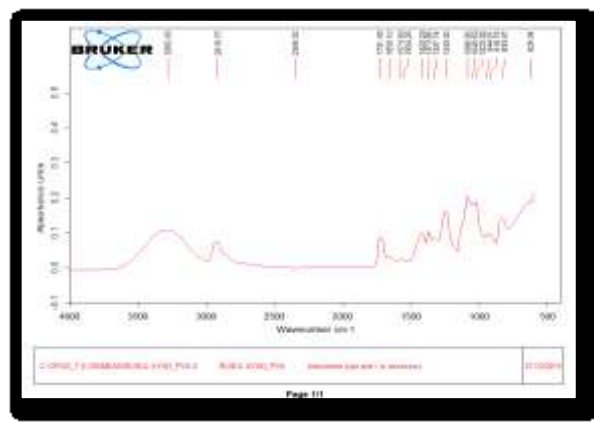
الشكل 8. اطیاف تحولات فوریر لنمذج TiO_2



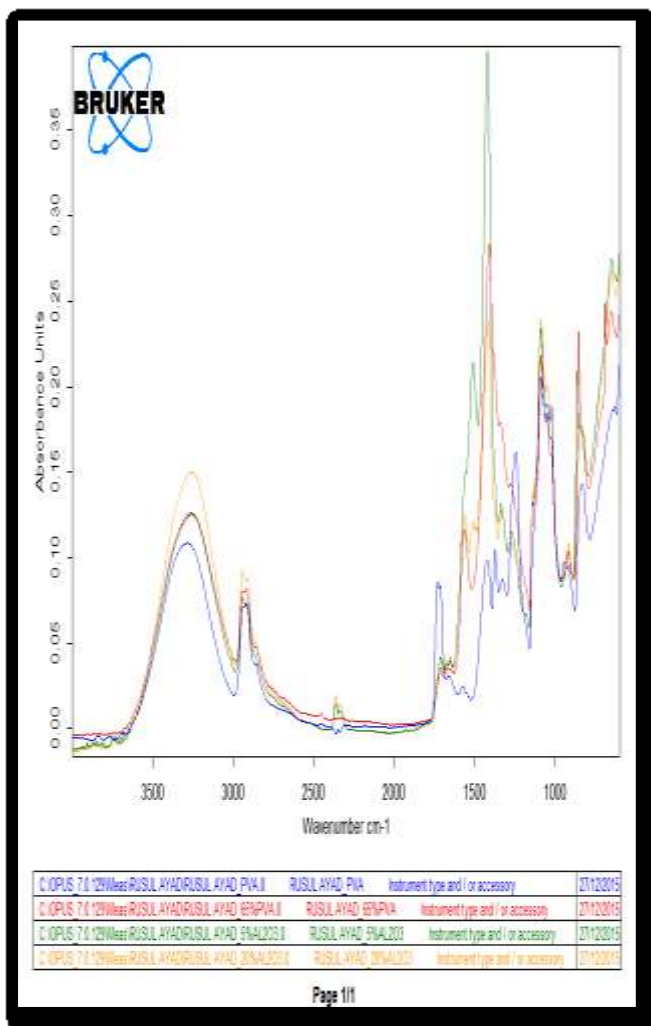
الشكل 9. اطیاف تحولات فوریر لنمذج TiO_2



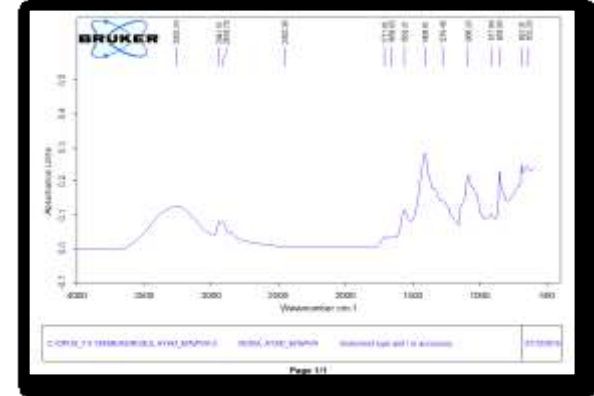
الشكل 14. اطیاف تحولات فوریر لنمودج $20\% \text{Al}_2\text{O}_3$



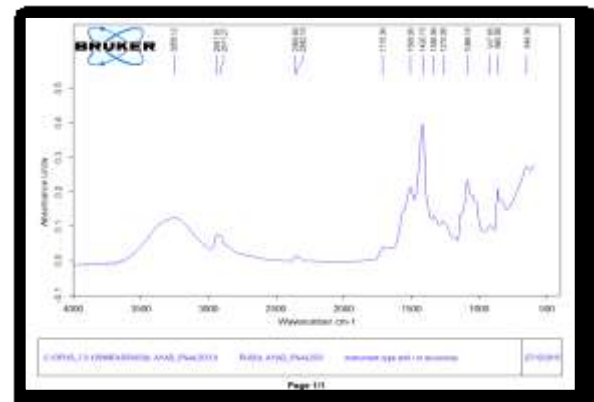
الشكل 11. اطیاف تحولات فوریر لنمودج PVA



الشكل 15. اطیاف تحولات فوریر
للنماذج مدار البحث قبل وبعد اضافة Al_2O_3



الشكل 12. اطیاف تحولات فوریر لنمودج
 $35\%(\text{Li}_2\text{CO}_3 + \text{BaCO}_3)/65\% \text{PVA}$



الشكل 13. اطیاف تحولات فوریر لنمودج $5\% \text{Al}_2\text{O}_3$

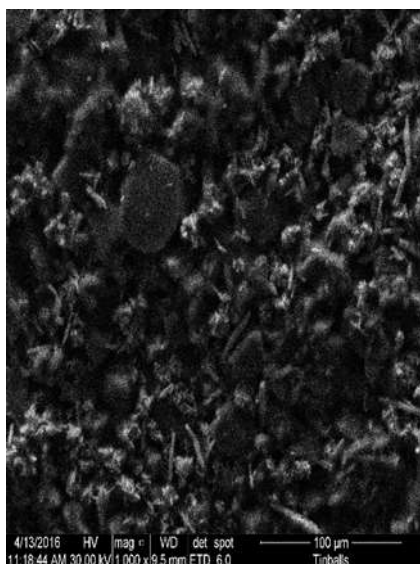
الجدول 1. يبين خواص مواصفات طيف (FTIR) لمتراتكبات بمختلف التراكيز.

P.S	C-H Out Phase Bending 625-970	C-O Stretch 880-1000	CH ₂ Bending 1300-1380	CH ₂ Wagging C=C Stretch 1550-1610	C=O Stretch 1550-1750	C-H Stretch Aliphatic 2800-3000	O-H Stretch 3100- 3600
PVA	629.34 833.47 918.75 944.97	918.75 944.97	1327.74 1373.85	1554.25 1573.83	1554.25 1573.83 1659.10 1731.43	2918.75	3282.43
35%($\text{Li}_2\text{CO}_3+\text{BaCO}_3$) /65%PVA	625.20 691.31 853.93 917.84	917.84	-----	1563.21	1563.21 1659.63 1711.81	2918.70 2941.51	3262.24
5% TiO_2	648.12 690.91 854.01 917.80	917.80	1338.11	1558.64 1652.23	1558.64 1652.23 1713.74	2941.09	3260.37
20% TiO_2	647.78 853.69 918.29	918.29	1338.52	1558.55	1558.55 1652.69 1715.45	2909.59 2941.28	3253.22
5% Al_2O_3	649.39 865.08 917.65	917.65	1338.06	-----	1715.30	2911.27 2941.91	3258.12
20% Al_2O_3	650.00 834.33 917.07	917.07	1337.69	1558.63	1558.63 1653.01 1683.17 1706.07 1731.74	2910.77 2940.81	3259.59

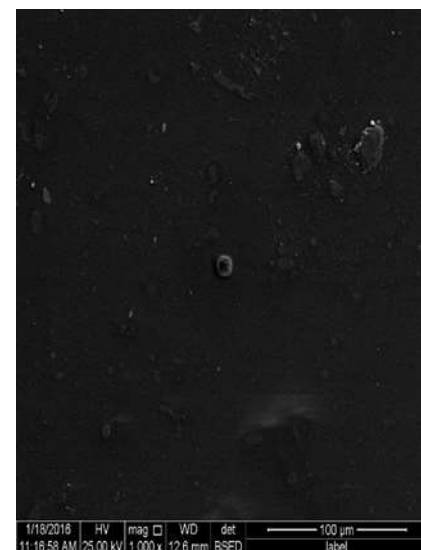
وبعد اضافة TiO_2 و Al_2O_3 وبالنسبة (20% و 5%) مدار البحث. حيث نلاحظ ان PVA عينة متGANSA خالية من العيوب شكل (16)

فحص المجهر الالكتروني الماسح

يعتبر المجهر الالكتروني الماسح (SEM) وسيلة مفيدة جداً لدراسة تشكيل النماذج PVA , $\text{35%}(\text{Li}_2\text{CO}_3+\text{BaCO}_3)/65\%$ PVA قبل،



الشكل 18. نموذج 5% Al_2O_3



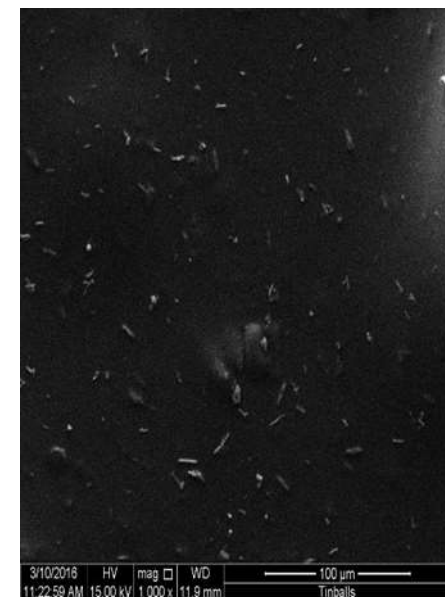
الشكل 16. نموذج PVA

كما ان توزيع الحلول الالكترونية كان منتظمًا



الشكل 19. نموذج 20% Al_2O_3

وهذا يتفق مع [10]. في حين نلاحظ تزداد التجمعات (Agglomeration) للدفائق TiO_2 بازدياد التركيز الشكل (20) و (21)



الشكل 17. نموذج 35% ($\text{Li}_2\text{CO}_3 + \text{BaCO}_3$) / 65% PVA
ويزداد تجانس العينة بازدياد نسبة Al_2O_3 المضافة
شكل (18) و (19)

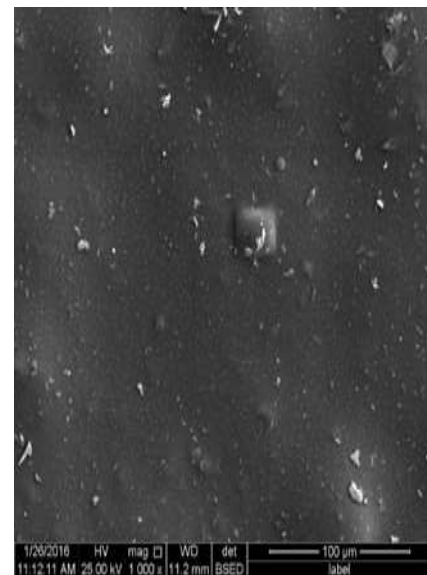
البلورية (Crystallinity)، ويغير من تركيب البوليمر الأصلي ومن ثم التوصيلية للنمذج المتراكبة مدار البحث والذي يعمل على زيادتها. فعند زيادة تركيز TiO_2 فإن الاكسيد السيراميكية (Ceramic Oxides) سيتم تشتتها بشكل جيد وتقلل من بلوريّة المادة بزيادة التركيز مما يزيد توصيلية النمذج مدار البحث.

4. الاستنتاجات

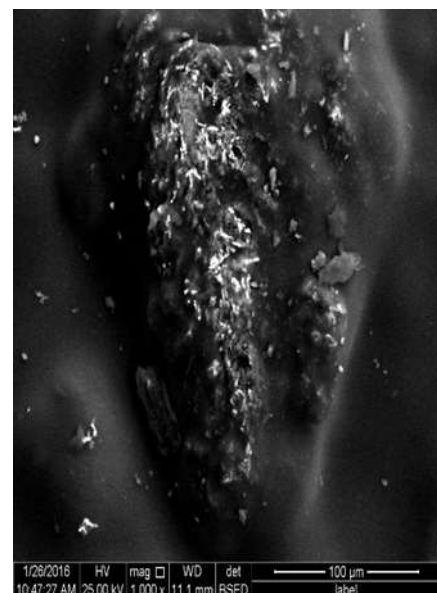
- وجد زيادة في التوصيلية الكهربائية بارتفاع درجة الحرارة من (50-150°C) نتيجة لامتلاك هذه النمذج معامل حراري سالب Negative Thermal Coefficient (NTC)، حيث كانت أعلى قيمة 6.55E-6 ($\Omega \cdot cm$)⁻¹ للتوصيلية لعينة $5\% TiO_2$ عند درجة حرارة (150°C).
- اظهرت نتائج FTIR ظهور حزم جديدة واحتفاء أخرى مع وجود زحف في جميع الحزم نظراً لحدوث تغير في التشكيل.
- يمكن استخدام النمذج مدار البحث كمواد الكترونية ول مختلف التطبيقات.

5. المصادر

1. B.Hussien, M. Abdul-Muhsien , A.hashim," Study of Some Electrical Properties forPMMA-TiO₂ Composites", ATTI DELLA "FONDAZIONE GIORGIO RONCHI" ANNO LXVI, - N. 1, 2011
2. D. Phathemia and D. singh, , " A review on Electrical Properties of Fiber Reinforced Polymer



الشكل 20. نموذج 5% TiO_2



الشكل 21. نموذج 20% TiO_2

وهذا يتفق مع تناقض حاملات الشحنة بالنسبة للنمذج مدار البحث. حيث يبين الشكل ظهور اشكال كروية (Spherical Shapes)، وان النمذج ذات طبيعة مسامية (Porous Nature). ان وجود دفائق TiO_2 يزيد من عملية الاستطارة داخل الاساس PVA وان اسهام TiO_2 داخل PVA يقلل

- 7.Haihony Ma. Tiejun shi and Qiu Sheng Song "Synthesis and Characterization of Novel PVA\SiO₂ – TiO₂ Hybrid Fibers; Vol(2), PP. (275-284). (2014).
8. H.M. Ahmad , S.H. Sabeeh, and S.A. Hussen (Electrical and Optical Properties of PVA/LiI Polymer Electrolyte Films) Asian Transactions on Science & Technology (ATST ISSN: 2221-4283) Volume 01 Issue 06, 2012.
- 9.K.L.Sudha,S.ROYand,K.U.Rao,"Evaluation of Activation Energy (Ea) Profiles of Nanostructured Alumina Polycarbonate Composite Insulation Materials, International Journal of Materials, Mechanics and Manufacturing , Vol.2, No.1,2014.
- 10.N.Varghese, M.Hariharan, Dr. A. B. Cherian, Dr. P.V. Sreenivasan, J.Paul and A.Anthony. K.A,"PVA - Assisted Synthesis and Characterization of Nano α - Alumina" International Journal of Scientific and Research Publications, Volume 4, Issue 10, 1 ISSN 2250-3153, October 2014.
- Composites" International Journal of Theoretical Applied Science, vol.(1). No.(2),PP.(34—37).(2009).
- 3.G. Nagasubramanian and S. Di Stefano 12-Crown-4 Ether-Assisted Enhancement of IonicConductivity and Interfacial Kineticsin Polyethylene Oxide Electrolytes, J.Electrochem. Soc., Vol.137,pp.3830-3835, ISSN 1945-7111, 1990.
4. Groce, F. Gerace, F. Dautzemberg, G. Passerini, S. Appetecchi, and G.B. Scrosati, (Synthesis and characterization of highly conducting gel electrolytes), Electrochimi. Acta, Vol.39, No.14, pp.2187-2194, ISSN 0013-4686,1994.
5. H.K .Jaafr ,;M.SC. thesis; "Preparaton Polymer Blend for Natural and Synthetic Material and Study Properties for Medical Uses ; University of Technology ; Applied science ; (2013).
6. H.S. Alani ; M.SC thesis ;" Study of Effect SiO₂ Addition on The Properties of (PVA) for Adhesion application" ; University of Technology, Applied Sciences,(2016).

- Polymer Electrolytes"
Journal of New Materials for
Electrochemical System 6,
197-203 (2003).
- 13.W.Callister,"Material Science
and Engineering :An
Introduction; Third Edition
John Wiley and
Sons,INC,(1994).
- 11.Quartarone, E. Mustarelli, P.
Magistris, A. PEO-based
composite polymer
electrolytes, Solid State
Ionics, Vol.110, No.1-2,
pp.1-14, ISSN 0167-2738,
1998.
12. R. H. Y. Subban and
A.K.Arof,"Experimental
Investigations on PVC-
 $\text{LiCF}_3\text{SO}_3\text{-SiO}_2$ Composite

Study The ionic Conductivity of Polymer Composites

Dr.Nahida.J.H

Rusul.A.M

University of Technology / Applied Science Department / Material Science

Abstract

The aim of this work is electrolyte polymer composites preparation. PVA (Poly Vinyl Alcohol) was used as a matrix material; the electrolyte solution was prepared from lithium carbonate powder (Li_2CO_3), and barium carbonate powder (BaCO_3) in ratio of (7:3). It was added to the matrix in ratio of (35% (Li_2CO_3) + (BaCO_3)). The samples prepared by casting method. The structural, mechanical, optical, electrical ,and dielectric properties were studied before TiO_2 ,and Al_2O_3 within (5 and 20%wt) concentration. It was found increase in electric conductivity by temperature increase within range of (50-150°C), that was due to the negative thermal coefficient of the samples. By temperature increase. The segments of polymer begin in movement, and release the trapped charge. The trapped charges releasing was associated with molecular movement .the highest conductivity was $6.55\text{E-}6$ ($\Omega\text{.cm}$)⁻¹ for 5% TiO_2 at (150°C). The results enhanced with scanning electron microscope (SEM), and Fourier Transformation Infrared (FTIR). The results concluded that the samples involved can be used as electrolyte material for different applications.